

بررسی سامانه کانه‌زایی فلزات پایه و گرانبها در محدوده‌های معدنی چشم‌حافظ و چالو، کمان ماسکمایی ترود- چاه‌شیرین

بهزاد مهرابی^۱، مجید قاسمی‌سیانی^۲ و ابراهیم طالع‌فاضل^{۳}

^۱دانشیار، گروه ژئوشیمی، دانشکده علوم زمین، دانشگاه خوارزمی، تهران، ایران

^۲دکتر، گروه ژئوشیمی، دانشکده علوم زمین، دانشگاه خوارزمی، تهران، ایران

^۳استادیار، گروه زمین‌شناسی، دانشکده علوم، دانشگاه بولعلی سینا، همدان، ایران

تاریخ پذیرش: ۱۳۹۱/۰۵/۱۸ تاریخ دریافت: ۱۳۹۰/۰۶/۱۲

چکیده

کمان آتشفشاری- نفوذی ترود- چاه‌شیرین در جنوب فروافتادگی کویر چاه‌جم (جنوب خاور دامغان)، میزان رخدادها و ذخایر معدنی بی‌شماری همچون سرب و روی، مس، نقره و طلا است که کانسارهای چندفلزی نوع رگه‌ای چشم‌حافظ (سرپ- روی \pm مس \pm نقره \pm طلا) و چالو (مس- طلا \pm نقره) در مرکز آن قرار دارد. در این پهنه، فعالیت‌های آتشفشاری کالک‌آلکالن ترشیری و کانی‌سازی مرتبط با آن پیشتر در ارتباط با گسل‌های چپ‌گرد انجلیو در شمال و ترود در جنوب با راستای شمال خاوری- جنوب باخته رخ داده است. سنگ‌های رخمنون یافته در پهنه ترود- چاه‌شیرین شامل توالی‌هایی از سنگ‌های رسوی، آتشفشاری و آتشفشاری- تخریبی است. این سنگ‌ها شامل سیلت‌سنگ و ماسه‌سنگ نازک‌لایه، سنگ‌های آذرین بیرونی حداوت، لایلی توف و برش‌های آتشفشاری است. گدازه‌های آندزیت بازالت در منطقه چشم‌حافظ طی سه مرحله شامل، (۱) کانی‌سازی تراکی آندزیت و تراکی آندزیت بازالت در منطقه چالو میزان کانی‌سازی گرمایی در این مناطق هستند. کانی‌سازی در منطقه چشم‌حافظ طی سه مرحله شامل، (۲) کانی‌سازی رگه‌ای و انتشاری پیریت- کالک‌پیریت با دمای همگن شدگی ۱۸۸ تا ۲۲۸ درجه سانتی‌گراد و شوری ۶ تا ۱۴ درصد وزنی معادل نمک طعام؛ (۳) کانی‌سازی سولفیدی اصلی با ماهیت رگه‌ای، انتشاری و برشی با دمای همگن شدگی ۲۴۳ تا ۲۷۶ درجه سانتی‌گراد و شوری ۱۱ تا ۱۸ درصد وزنی معادل نمک طعام؛ (۴) کانی‌سازی جانشینی و رگه‌ای (کوارتز و کلسیت بی‌بر) با دمای همگن شدگی ۱۴۸ تا ۱۸۵ درجه سانتی‌گراد و شوری ۴ تا ۱۱ درصد وزنی معادل نمک طعام است. کانی‌سازی در منطقه چالو نیز با گسترش کم و کانی‌شناسی ساده طی دو مرحله رخ داده است، (۱) کانی‌سازی رگه- رگچه‌ای پیشین مشکل از همایت تیغه‌ای، مگنتیت، کالک‌پیریت و پیریت نسل اول (I) با دمای همگن شدگی ۳۳۲ تا ۳۵۶ درجه سانتی‌گراد و شوری ۷ تا ۱۱ درصد معادل نمک طعام و (۲) کانی‌سازی پسین با ماهیت برشی و استوکورک مشکل از پیریت نسل دوم (II)، بورنیت، تراهدریت، کلسیت رگه‌ای و کلریت با دمای همگن شدگی ۲۹۰ تا ۳۲۲ درجه سانتی‌گراد و شوری ۳ تا ۷ درصد وزنی معادل نمک طعام، رخ داده است. می‌توان گفت با افزایش فاصله از منطقه چالو و نزدیک شدن به منطقه چشم‌حافظ، دمای همگن شدگی، شوری سیال کانه‌ساز و ژرفای کانی‌سازی کاهش یافته و کانی‌زایی در محدوده چشم‌حافظ و چالو در اثر اختلاط سیالات گرمایی و جوی رخ داده است.

کلیدواژه‌ها: ترود- چاه‌شیرین، چشم‌حافظ، چالو، میانبارهای سیال، کانی‌سازی چندفلزی.

*نویسنده مسئول: ابراهیم طالع‌فاضل

E-mail: tale.fazel@gmail.com

۱- پیش‌گفتار

سنگ‌شناسی، دگرسانی، کانی‌شناسی و میانبارهای سیال انجام شده که بخشی از نتایج این بررسی در ادامه شرح داده شده است.

۲- روش مطالعه

مناطق معدنی مورد مطالعه، کانسارهای چشم‌حافظ و چالو با گسترش تقریبی ۲۰ کیلومترمربع هستند. تا کنون نقشه‌های زمین‌شناسی منطقه‌ای در مقیاس‌های ۱/۱۰۰۰ و ۱/۲۰۰۰۰ به ترتیب از مناطق معدنی چشم‌حافظ (قاسمی‌سیانی، ۱۳۸۸) و چالو (توسعه علوم زمین، ۱۳۸۵) تهیه شده است. نمونه سنگی از رخمنون‌های سنگی غیرهوایزده به روش XRF برای عنصر اکسیدی اصلی در دانشگاه خوارزمی تهران، ۱۵۰ نمونه از رگه، تراشه، چاهک و مغزه‌های حفاری از پهنه معدنی و سنگ میزان با دستگاه ICP-MS (روش ۴۴ عنصری) در آزمایشگاه Acme کانادا و ۱۵ نمونه از رگه‌های کوارتز- کانه‌دار، به روش XRD در شرکت کانساران بینالود تجزیه شدند. مطالعات میکروسکوپی کانی‌ها با استفاده از ۳۰ مقطع نازک، ۲۰ مقطع صیقلی و ۱۲ مقطع نازک- صیقلی انجام شد. مطالعات میکروسکوپ الکترونی روبیشی (SEM-EDS) در مرکز متالورژی رازی ایران با استفاده از مقاطع صیقلی انجام شد. افزون بر آن، مطالعات سنگنگاری و میکروترموتری میانبارهای سیال با استفاده از ۸ مقطع نازک دوبرصیقل (ویفر) با سبیرای میانگین ۱۵۰ میکرون، برای تعیین شرایط دمایی و ویژگی‌های فیزیکوشیمیایی سیال کانه‌ساز، توسط میکروسکوپ زایس و دستگاه

مجموعه آتشفشاری- نفوذی ترود- چاه‌شیرین در خاور کمان ماسکمایی البرز (AMA) و جنوب فروافتادگی کویر چاه جم، محدود به گسل‌های شمال خاوری- جنوب باخته انجلیو در شمال و ترود در جنوب است. این ناحیه میزان ذخایر و آثاری بی‌شماری از کانی‌سازی گوناگون چندفلزی مس، سرب، روی، آهن، جیوه و طلای نوع رگه- رگچه‌ای (اپی‌ترمال، پورفیری، اسکارن و میزان کربناتی) (MVT) است (شکل ۱). از میان این رخدادها و نشانه‌ها می‌توان به کانسارهای چشم‌حافظ (Pb+Zn±Cu)، (Cu)، (Au+Pb+Zn±Ba)، (Au+Pb+Zn±Cu±Au)، ابوالحسنی (Pb+Zn+Cu±Au)، چاه‌موسی (Cu)، (Au+Cu)، دارستان (Au+Cu)، خانجار (Pb+Ag±Zn) و مانند آن اشاره کرد (شکل ۲). در این میان ذخایر چشم‌حافظ و چالو (کلاته‌چالو) در فاصله ۴۰۰ کیلومتری خاور تهران و ۱۲۰ کیلومتری جنوب شاهرود، در بخش مرکزی رشته کوه ترود- چاه‌شیرین قرار گرفته‌اند (شکل ۲). تاکنون مطالعات بسیاری توسط هوشمندزاده و همکاران (۱۳۵۷)، ولی‌زاده و جعفریان (۱۳۶۸)، رشدی‌زاده عمران (۱۳۷۱)، اشرافی (۱۳۷۷)، مهری (۱۳۷۷)، فرد (۱۳۸۰)، شمعانیان (۱۳۸۲)، شیبی (۱۳۸۳)، توسعه علوم زمین (۱۳۸۲ و ۱۳۸۵)، امام جمعه (۱۳۸۵) و قاسمی‌سیانی (۱۳۸۸) در منطقه انجام شده است. در این پژوهش با مطالعه بر روی کانه‌زایی، میانبارهای سیال، به بررسی دو محدوده معدنی چشم‌حافظ و چالو و ارائه ویژگی‌های کانه‌زایی پرداخته می‌شود که از نتایج آن می‌توان برای ردیابی رخدادهای معدنی همانند در این پهنه استفاده کرد. برای بررسی ماهیت کانی‌سازی در مناطق چشم‌حافظ و چالو مطالعات زمین‌شناسی،

تقسیم می شوند، همه سنگ های بیرونی منطقه در محدوده کالک آلکالن قرار می گیرند (شکل ۴-ج). داده ها نسبت به گوشه اولیه و کندریت بهنجار شده اند و چگونگی روند آنها در شکل های ۴-۵، د نشان داده شده است. غنی شدگی و تهی شدگی عناصر در این نمودارها، نشان دهنده ویژگی های مشابه با کمان های ماگمایی مناطق فورانش برای سنگ های منطقه است. بی هنجاری مثبت عناصر ناساز گار سنگ دوست با شعاع یونی بزرگ (LILE) مانند Rb, Ba, K و Pb بی هنجاری منفی عناصر ناساز گار با شدت میدان بالا (HFSE) همچون Ti, Zr و Nb (Pearce & Can, 1973) (شکل ۴-د). الگوی بهنجار شده عناصر خاکی کمیاب (REE) نسبت به کندریت، گویای الگوی تقریباً همانندی با ترکیب کندریت است که با میزان ناچیز بی هنجاری مثبت LREE و الگوی تقریباً مسطح HREE مخصوص می شود (شکل ۴-ه). شیاهت الگوی های عناصر خاکی کمیاب نمونه های مورد مطالعه با یکدیگر، احتمالاً نشانگر رابطه خوش اواندی میان آنهاست؛ به صورتی که احتمالاً سنگ های اسیدی منطقه از یک ماگمای بازیک با ترکیب بازالت تا بازالت آندزیت تغیریق یافته اند.

۵- کانی سازی

فعالیت های معدن کاری کهن در معادن متروکه چشم حافظ و چالو (کلاته چالو) با پیشینه تاریخی یکصد ساله بیشتر بر روی کانه زایی رگه و رگچه ای کوارتز- سولفیدی- اکسیدی ژرفایی و سطحی با محتوا کانی سازی گالن، اسفالریت، کالکوپیریت، کالکوسیت، پیریت، مگنتیت، هماتیت و گوتیت به منظور استخراج مس- طلا (چالو) و سرب- روی \pm مس (چشم حافظ) انجام شده است. در این مناطق آثار کانه زایی به صورت آغشته گاهی سطحی مالاکیت، آذوریت و گوتیت- لیمونیت در دیواره تراشه ها، تونل های استخراجی دنباله رگه و سینه کارهای کهن دیده می شود (برنا و عشق آبادی، ۱۳۷۶ و اشراقی، ۱۳۷۷) (شکل ۵). مطالعات صحرایی و بررسی گمانه های حفاری در معادن چالو و چشم حافظ، سبب شناسایی کانه زایی چندفلزی با ماهیت سولفیدی درون زاد و بروزن زاد مس، سرب و روی، آهن، نقره و طلا بافت و ساخت رگه- رگچه ای، انتشاری، برشی و جانشینی در میزان آندزیت، آندزیت- بازالت، داسیت و ریوداسیت شده است (قاسمی سیانی، ۱۳۸۸). در بخش کانی سازی ضمن توصیف هر یک از کانسراهای چشم حافظ و چالو و بیان ویژگی های کانی سازی در منطقه، ارتباط رئنیکی میان کانی سازی و فعالیت های آذرین کمان ماگمایی ترود- چاه شیرین مورد بحث قرار گرفته است. به این منظور به ویژگی های رئنیکی هر یک از کانی سازی ها شامل سنگ میزان، شکل کانی سازی، کانی شناسی کانسنگ و باطله، ساخت و بافت کانی سازی، دگرسانی های مرتبط، سنگ زایی و ویژگی های شیمی سیال کانه ساز اشاره شده است.

۵- ۱. کانه زایی سرب و روی (\pm مس) چشم حافظ

واحدهای دارای رخمنون در محدوده معدنی چشم حافظ ماسه سنگ های نازک لایه و توف های ماسه ای با سن اثوسن میانی و واحدهای سنگی بازالت، آندزیت، آندزیت- بازالت و تراکی آندزیت با سن اثوسن پسین هستند که این واحدهای توسط گبده های داسیتی و ریوداسیتی به سن الیگو سن قطع شده اند. سنگ های آندزیت، آندزیت- بازالت، داسیت، ریوداسیت و تراکی آندزیت میزان اصلی کانی سازی رگه- رگچه ای کوارتز- سولفیدی در محدوده چشم حافظ هستند. به طور کلی، کانه زایی در منطقه چشم حافظ در دو تونل کهن به نام چشم حافظ و گردنه تو تو رخ داده که مطالعه شده است (شکل ۶). تونل چشم حافظ که در پر امون معدن متروکه چشم حافظ قرار دارد، متشکل از رگه اصلی چشم حافظ حدوداً به طول ۱۰۰۰ متر با روند تقریبی شمال- شمال باختی (NNW)، شیب ۵۰ تا ۶۰ درجه به سوی جنوب باختی و ستبرای ۳۰ سانتی متر تا ۵ متر است (شکل ۷-الف). بیشترین عملیات معدن کاری قدیمی در امتداد این رگه صورت گرفته است و میانگین عیار ۴

لینکام مدل 600-THM با کترل کننده حرارتی TMS94 و سرد کننده LNP در دانشگاه خوارزمی تهران انجام شد.

۳- زمین شناسی گمر بند ترود- چاه شیرین

کمان ماگمایی البرز (AMA) به عنوان بخشی از نوار زمین شناسی فعال آلب- هیمالیا در شمال ایران به ۳ بخش باختی، مرکزی و خاوری قابل تقسیم است (Stöcklin, 1968). رشته کوه ترود- چاه شیرین به صورت یک برآمدگی میان گسل های ترود و انجلو در بخش مرکزی و خاوری کمان ماگمایی البرز قرار دارد که بخش باختی این کمان در پایان به امتداد ماگمایی ارومیه- دختر متصل می شود (شکل ۱). نخستین مطالعات زمین شناسی در این ناحیه توسط Huber & Stöcklin (1959) انجام شده است که شروع تکاپوهای ماگمایی ترشاری را به لوتسین (اثوسن میانی) نسبت می دهدن. کهن ترین سنگ های رخمنون یافته در رشته کوه ترود- چاه شیرین سنگ های رسوی- دگرگونی فیلت، کوارتز ترشاریت، سنگ آهک مرمری و دولومیت بلورین به سن سیلورین- دونین (معادل سازند های نیور، پادها و سیزار) است. این کمان به طور چیره از سنگ های آذرین موزو ویک پسین تا ترشاری ساخته شده است که بر پایه مطالعات هوشمند زاده و همکاران (۱۳۵۷)، اوج فعالیت ماگمایی در این مجموعه طی اثوسن میانی تا پسین رخ داده است. واحدهای زمین شناسی منطقه به ترتیب فراوانی شامل ۱) توف، لاپلی توف، خاکستر های ریولیتی و به صورت فرعی مارن و ماسه سنگ، ۲) گدازه و سنگ های آذر آواری با ترکیب آندزیت و آندزیت- بازالت و ۳) داسیت، ریوداسیت و توهد های نفوذی اسیدی نیمه ژرف است. بر پایه مطالعات ولیزاده و جعفریان (۱۳۶۸)، گدازه های آتششانی حجم قابل توجهی را در رشته کوه ترود- چاه شیرین تشکیل می دهدن که بر پایه کانی های نرماتیو، این سنگ ها در نمودار Streckeisen (1980) بیشتر در محدوده آندزیت قرار می گیرند. سرگذشت زمین شناسی ناحیه ترود با گسل هایی که در شمال به موازات گسل عطاری و در جنوب به موازات گسل درونه هستند، ارتباطی تنگاتنگ دارد. الگوی ساختاری این ناحیه توسط دو گسل امتداد لغز اصلی انجلو در شمال و ترود در جنوب با راستای شمال خاوری- جنوب باختی کترل می شود (شکل ۳). سنگ های آتششانی رشته کوه ترود- چاه شیرین توسط توهد های نفوذی زیادی قطع شده که بر پایه شواهد زمان شناختی (ژنوکرونولوژی) سن احتمالی آنها اثوسن پسین- الیگو سن است. رسیدن تراو عمران (۱۳۷۱)، با مطالعه توهد های نفوذی در منطقه باغو (بخش شمالی پنهان ترود- چاه شیرین) سن آنها را به دلیل نفوذ در سنگ های آتششانی اثوسن به اثوسن پسین- الیگو سن پیش نسبت می دهد. کهنسال (۱۳۷۷) توهد های نفوذی اثوسن پسین- الیگو سن این ناحیه را به ۳ گروه شامل توهد های اسیدی با ترکیب میکرو کوارتز کرانیت تا گرانو دیبوریت، توهد های حدواتسط با ترکیب میکرو کوارتز مونزونیت تا میکرو کوارتز دیبوریت و بالاخره سنگ های بازیک با ترکیب دولریت و میکرو گابر و تقسیم می کند (شکل ۳).

۴- ژوئشیمی سنگ های آذرین

به منظور بررسی ویژگی های ژوئشیمیایی سنگ های آذرین در مناطق معدنی چشم حافظ و چالو، ترکیب شیمیایی ۵ نمونه معرف از سنگ های آذرین این مناطق به روش های XRF (برای تجزیه عناصر اکسیدی اصلی) و ICP-MS (عناصر فرعی) تجزیه شده است (جدول ۱). بر مبنای رده بندی TAS (Le Maitre, 1989) سنگ های آتششانی منطقه مورد مطالعه با ماهیت ساب آلکالن در محدوده بازالت آندزیت، آندزیت، داسیت و ریولیت قرار می گیرند (شکل ۴-الف). در نمودار دوتایی K_2O در برای SiO_2 (Le Maitre, 1989) نیز سنگ های محتوا پاسیم متوسط تا بالا نشان می دهدن (شکل ۴-ب). همچنین در نمودار سه تایی AFM (Irvine & Baragar, 1971) که در آن سنگ های به ۲ رده کالک آلکالن و تولئیتی

بخش نخست (کانه‌سازی آهن) مورد مطالعه قرار نگرفته و مطالعات بر روی کانه‌زایی رگه‌ای مس (طلا) در جنوب منطقه چالو انجام گرفته است. واحدهای رخمنون یافته در مقیاس ناحیه‌ای در منطقه چالو بر پایه برگه ۱:۱۰۰۰۰ معلمان (اشرافی و جلالی)، (۱۳۸۵) شامل سنگ‌های آتشفشاری تراکی آندزیت- تراکی آندزیت بازالت (Eⁱⁱ، E^{vi}) و بازالت اسپلیتی (E^{sp}) و به مقدار کمتر گدازه‌های آندزیت و آندزیت داسیت (E^v) و سنگ‌های آتشفشاری برشی (E^{vii}) است (شکل ۱۰). کانی سازی مس (طلا) به صورت رگه- رگجهای و عدسی شکل در راستای گسل خاوری- باختری به طول تقریبی ۴۰ متر، سبیرای ۲۰ سانتی متر تا ۶ متر و شبیه تقریبی ۳۰ درجه به سوی شمال در میزان تراکی آندزیت و بازالت اسپلیتی برشی (هیالوکلاستیک) رخ داده که در بخش خاوری توسط نهشته‌های سبیر کواترنری پوشیده شده است (شکل ۱۱). تراشه‌ای به طول تقریبی ۵۰ و ژرفای ۷ متر در راستای شمال- جنوب در عرض رگه اصلی حفر شده است. بر پایه تجزیه دستگاهی به روش ICP-MS، رگه اصلی کانسار چالو به طور متوسط ۳ درصد مس، ۲ درصد سرب، ۰/۵ درصد روی، ۲۰ گرم در تن نقره، ۱۳ گرم در تن طلا و مقادیری بیسموت، آنتیموان، آرسینیک و مولیبدن دارد (جدول ۳). کانه‌های اسکیدی- سولفیدی همایت تیغه‌ای، مگنتیت، کالکوپیریت، بورنیت، پیریت، گالان و تراهدریت به عنوان مهم‌ترین فازهای کانه‌سازی درون‌زاد (بین ۲۰ تا ۳۰ درصد رگه) و کوارتز (در دو نسل)، فلدسپار پتانسیم (اولیه)، کلریت، کلسیت و اکسیدهای آهن- منگنز، فراوان‌ترین کانه‌های باطله (بیش از ۶۰ درصد رگه) به شمار می‌روند. کانی سازی برون‌زاد در کلاته چالو با حضور کالکوپیریت و کوولین (در حاشیه کالکوپیریت و بورنیت) و آغشتنگی‌های ملاکیت، کریزوکلا، گوتیت و پیریت رگجهای تأخیری مشخص می‌شود. کانی سازی پیریت در چالو، دست کم در دو نسل شامل، کانی سازی پیریت برشی (نسل اول) به همراه کالکوپیریت، مگنتیت و فلدسپار پتانسیم در میزان کوارتز خاکستری (نسل اول) (شکل ۱۲-الف) و پیریت رگجهای تأخیری (نسل دوم) به همراه بورنیت، کالکوپیریت و تراهدریت در میزان کوارتز باافت مضرسی (نسل دوم) و کلسیت به صورت پرکننده فضای خالی رخ داده است (شکل ۱۲-ب). تراهدریت به صورت ادخال‌های پراکنده در میزان کالکوپیریت تشخیص داده شد (شکل ۱۲-ج). بافت‌های شکافه‌پرکن، برشی و انتشاری مهم‌ترین بافت‌های دیده شده در مقاطعه هستند که نشان از دیرزاد بودن فرایند کانه‌سازی در منطقه چالو دارد. افزون بر آن پس از کانی سازی، رگه و رگجهای از کلسیت تأخیری در سنگ میزان آندزیت رخ داده است (شکل ۱۲-د). توالی همبود کانسار چالو همراه با دما و شوری سیالات به دست آمده طی هر مرحله در شکل ۱۳ نشان داده شده است.

۶- دگرسانی

حالهای دگرسانی در منطقه چشم‌حافظ در پیرامون رگه‌ها از چند سانتی متر تا ۲ متر متغیر است. دگرسانی‌ها شامل پروپیلیتیک (اپیدوت- کلسیت \pm پیریت)، فیلیک (کوارتز- سریست- پیریت)، آرژیلیک (کوارتز- مونت‌موریلوبنیت) و سیلیسیک است. دگرسانی‌های فیلیک، آرژیلیک و سیلیسیک، راجع‌ترین دگرسانی‌های مرتبط با کانی سازی است که بیشتر در سنگ‌های آذرین رخمنون دارد و تا ژرفای ۳۰ متری گمانه‌ها دیده می‌شود. در دگرسانی‌های موجود در چشم‌حافظ پهنه‌بندی دیده می‌شود، به گونه‌ای که در فاصله‌های دورتر از رگه تا فاصله ۳۰ متر در اطراف گسل‌ها به طور چیره شامل کوارتز- مسکوویت- ایلیت و کربنات (آنکریت) است (فاسی سیانی، ۱۳۸۸). در فواصل نزدیک به رگه دگرسانی شدیدتر است و درشت‌بلورهای پلاژیوکلاز به طور جزیی و یا کامل به کانی‌های کربناتی ریزدانه و مسکوویت تبدیل شده است. در محل بالفصل رگه‌ها نیز مجموعه کوارتز- ایلیت گسترش بیشتری داشته و درشت‌بلورها به طور کامل توسط ایلیت جانشین شده‌اند (شکل ۱۴). بر پایه شواهد به نظر می‌رسد

درصد سرب، ۲/۳ درصد روی، ۱/۵ درصد مس، ۳ گرم در تن نقره و ۰/۱ گرم در تن طلا دارد (جدول ۲). منطقه گردنه توتو در شمال باخته معدن متروکه چشم‌حافظ قرار دارد (شکل ۶). کانی سازی در گردنه توتو متشکل از یک رگه اصلی و رگه- رگجهای متعدد منشعب از آن با طول تقریبی ۵۰۰ متر و راستای شمال خاور- جنوب باخته، شبیه ۳۰ تا ۴۰ درجه به سوی جنوب خاوری و سبیرای ۲۰ سانتی متر تا ۲ متر است (شکل ۷-ب). محدوده مورد مطالعه تا ژرفای ۱۳۰ متری توسط حلقه گمانه (مجموع ۱۰۰۰ متر) مورد حفاری مغزه گیری قرار گرفته که برای تکمیل مطالعات، از آنها نمونه‌برداری شده است. در بیشتر رگه‌های معدنی چشم‌حافظ، کوارتز و کلسیت به عنوان فراوان‌ترین کانی باطله و به ترتیب کانه‌های پیریت، کالکوپیریت، اسفالریت، گالان، تراهدریت- تنانیت و بورنیت (درون‌زاد) و کانه‌های کالکوپیریت، دیئنیت و کوولین (برون‌زاد) مهم‌ترین کانی‌های سولفیدی کانسارساز (بین ۲۰ تا ۳۰ درصد رگه) در منطقه هستند. پیریت به عنوان فراوان‌ترین کانی سولفیدی (بین ۵ تا ۱۰ درصد رگه) در دو نسل شامل، پیریت نسل اول (I) به صورت خودشکل تا نیمه‌شکل دار همراه کالکوپیریت نسل اول (I) (شکل ۸-الف) و باطله کوارتز (نسل اول) به صورت رگه- رگجهای با بافت پرکننده فضای خالی در مرحله نخست تشکیل شده است (شکل ۸-ب). پیریت نسل دوم (II) به صورت نیمه‌شکل دار تا بی‌شکل همراه با گالان (نسل اول) و کالکوپیریت نسل اول (I) با بافت انتشاری تشکیل شده است (شکل ۸-ج). پس از پیریت، گالان به عنوان فراوان‌ترین کانه سولفیدی (کمتر از ۱۰ درصد رگه) در سه نسل شامل، گالان خودشکل نسل اول (I) با حاشیه سروزیت ($PbCO_3$) به صورت پراکنده (شکل ۸-د)، گالان نسل دوم (II) به صورت رگجهای همراه با ادخال‌های تراهدریت (شکل ۸-ه) و اسفالریت (شکل ۸-ه) و گالان نسل سوم (III) به صورت انتشاری به همراه تنانیت ($Cu,Fe_{12}As_4S_{13}$)، کالکوپیریت نسل دوم (II)، بورنیت و کوولین در میزان کوارتز (در ۳ نسل)، کلسیت، باریت، ژپس و اکسیدهای آهن- منگنز به ترتیب مهم‌ترین کانه‌های باطله در کانسار چشم‌حافظ هستند که بیش از ۵۰ درصد حجم رگه را به خود اختصاص داده‌اند. بر مبنای شواهد صحرایی و میکروسکوپی، توالی همبود (پارائنتیک) کانه‌ها و بافت و ساخت کانی سازی در منطقه شامل ۳ مرحله است: ۱) پیریت و کالکوپیریت به همراه کوارتز، ۲) مرحله کانی سازی سولفیدی اصلی (Main sulfide stage) شامل گالان خودشکل نسل اول (I)، گالان نسل دوم (II) دارای ادخال‌های تراهدریت- تنانیت، اسفالریت، کالکوپیریت و گالان نسل سوم (III) و ۳) رگه و رگجهای کوارتز (نسل سوم) و کربنات بدون آثار کانی سازی همراه با دیئنیت و سروزیت. توالی همبود کانسار چشم‌حافظ همراه با دما و شوری به ثبت رسیده در هر مرحله در شکل ۹ نشان داده شده است.

۵- ۲. کانه‌زایی مس (طلا) چالو

منطقه معدنی چالو (کلاته چالو) در ارتفاع ۱۶۰۰ متری و فاصله ۲۰ کیلومتری جنوب باخته معدن متروکه چشم‌حافظ در گستره‌ای به وسعت ۳ کیلومتر مریع قرار گرفته است (شکل ۲). معدن کاری کهنه به شکل‌های روباز و نعل اسی در ۲ سینه کار جدا به ابعاد تقریبی طول ۳۰، عرض ۵ و ارتفاع ۱۰ متر صورت گرفته است (شکل ۵). کانی سازی در محدوده معدنی چالو در ۲ محدوده رخ داده است؛ محدوده نخست در شمال و شمال خاوری منطقه با کانه‌زایی آهن- منگنز و محدوده دوم در جنوب منطقه و پیرامون معدن متروکه اصلی چالو همراه با کانه‌زایی مس- طلا است (شکل ۱۰). کانی سازی اسکارن آهن چالو با سنگ میزان آهک، شیل سیز و سنگ‌های آتشفشاری آندزیت و آندزیت داسیت رخ داده که توده‌های نفوذی کالک‌آلکالن با ترکیب دیوریت و گرانودیوریت به سن انوسن- الیگوسن و ماهیت متا‌آلومین متعلق به گرانیتوییدهای نوع I، احتمالاً به عنوان منشأ کانه‌زایی آهن در منطقه معرفی شده است (تفی‌پور و همکاران، ۱۳۸۹). در این پژوهش به دلیل ماهیت متفاوت کانی سازی

(۱) سامانه انتشاری پیریت- کالکوپیریت در میزان کوارتز خاکستری (I)، با فراوانی میانبارهای سیال دو فازی غنی از مایع (L+V)، دمای همگن شدگی پایانی به فاز مایع (Th_{LV-L}) بین 332°C تا 356°C ، تغییرات دمای ذوب پایانی بخ (T_{m_{ice}}) بین -4°C تا -8°C - (میانگین -6°C -) برابر میزان شوری ۷ تا ۱۱ درصد معادل نمک طعام (wt% NaCl eq.).

(۲) سامانه رگه‌ای پیریت (II)- بورنیت- کلسیت در میزان کوارتز مضرسی (II)، با فراوانی میانبارهای سیال دو فازی غنی از بخار (V+L) و تک فازی بخار (V)، تغییرات دمای همگن شدگی پایانی به فاز بخار (Th_{VL-V}) بین 290°C تا 322°C ، دمای ذوب پایانی بخ (T_{m_{ice}}) بین 1°C - 3°C - (میانگین 2°C -) برابر شوری ۳ تا ۷ درصد معادل نمک طعام (wt% NaCl eq.).

مطالعات میانبارهای سیال بر روی رگه‌های کوارتز کانه‌دار منطقه چالو گویای تغییرات دمای اوتکتیک (Te) به دست آمده بین $-18/8$ تا $-21/6^{\circ}\text{C}$ - در سامانه H₂O-NaCl است. همچنین نمودارهای میله‌ای شکل مقادیر به دست آمده از دمای همگن شدگی پایانی سیال (Th_{total}) و شوری (درصد معادل نمک طعام) برای کانسار چالو در شکل ۱۶ نشان داده شده است. داده‌های سنگنگاری و میکروترمو متري به دست آمده از مطالعات میانبارهای سیال کانسارهای چشم‌حافظ و چالو در جدول ۴ ارائه شده است.

۸- بحث

بر پایه مطالعات (2002) Brathwaite & Faure، ماهیت میانبارهای سیال در کانسارهای اپی‌ترمال غنی از طلا به صورت دو فازی (L+V) با دمای همگن شدگی پایین است. همچنین در کانسارهای اپی‌ترمال فلزات پایه و نقره، میزان شوری نسبتاً بالا (تا ۲۰ درصد معادل نمک طعام) در ترکیب سیال کانه‌ساز دیده شده است به دست آمده از مطالعات (Albinson et al., 2001). شوری اندازه‌گیری شده در میانبارهای سیال کانسار چشم‌حافظ بین ۴ تا ۱۸ درصد وزنی معادل نمک طعام و شوری به دست آمده در کانسار چالو بین ۳ تا ۱۱ درصد وزنی معادل نمک طعام است. بر پایه مطالعات ابوالحسنی میان دو محدوده معنی چشم‌حافظ و چالو برابر $6/7$ تا $18/7$ درصد وزنی معادل نمک طعام است (جدول ۵). میزان شوری میانبارهای سیال با نوع فلز در منطقه همخوانی دارد، به طوری که کانسار چالو دارای شوری کمتری است و به سوی ابوالحسنی و چشم‌حافظ به تدریج افزوده می‌شود. منطقه‌بندی عنصری نیز در منطقه دیده می‌شود، به گونه‌ای که از کانه‌سازی مس + طلا در چالو به سرب + روی + مس + نقره \pm طلا در ابوالحسنی و در پایان سرب + مس + روی \pm نقره \pm طلا در معدن متوجه چشم‌حافظ و کانه‌سازی روی + نقره در گردنه توتو تغییر می‌کند. به این ترتیب، سیال گرمابی در منطقه چشم‌حافظ و ابوالحسنی که با شوری بالاتر نسبت به چالو مشخص می‌شود، موجب کاهنese سازی فلزات پایه و نقره در این منطقه شده است و حضور کمپلکس‌های طладار در این سیال‌ها به حدی نبوده که سبب شکل‌گیری طلا شود. انتقال فلزات پایه و نقره در چنین شرایطی بیشتر توسط کمپلکس‌های کلریدی صورت می‌گیرد (Seward & Barnes, 1997).

بر عکس، شوری کمتر سیال گرمابی در منطقه چالو امکان حضور کمپلکس‌های طладار را فراهم آورده است. کمپلکس‌بی سولفیدی مهم‌ترین کمپلکس‌های طلا در چنین شرایطی است (Benning & Seward, 1996; Palyanaova, 2008; Benning & Seward, 1996).

ارتباط میان کانی‌سازی نقره و فلزات پایه با سیال‌های با شوری به نسبت و کانی‌سازی طلا و نقره با سیال‌های با شوری کمتر، پیش‌تر نیز پیشنهاد شده است (Henley, 1986). میانگین دمای همگن شدگی نیز از کانسار چالو به سوی کانسار چشم‌حافظ کاهش منظمی نشان می‌دهد. به گونه‌ای که میانگین دمای همگن شدگی در کانسار چالو بین 290 تا 356°C و میزان دمای همگن شدن در کانسار چشم‌حافظ

سیال گرمابی در نتیجه انتقال از گسل‌ها با کاهش دما روبرو و مسکوویت به وسیله ایلیت جانشین شده است (مهرابی و قاسمی‌سیانی، ۱۳۸۹). دگرسانی در محدوده معنی چالو با گسترش کمتر و تنها در کنار رگه‌ها دیده می‌شود که بیشتر شامل دگرسانی‌های سیلیسی- سولفیدی (کوارتز و پیریت)، سریسیتی و پتاسیک است. کانی‌های اپیدوت و کلریت نیز در سنگ میزان آندزیت و تراکی آندزیت برشی به مقدار زیاد حضور دارد که بیشتر جانشین پپروکسن و هورنبلند شده‌اند.

۷- میانبارهای سیال

مطالعات میانبارهای سیال با هدف بازسازی شرایط فیزیکو- شیمیایی سیال کانسارساز و چگونگی کانی‌سازی در منطقه و دستیابی به یک مدل اکتشافی مستدل انجام شده است. این مطالعات در محدوده‌های معنی چشم‌حافظ و چالو توسط ۶ مقطع دوبرصیقل با قطر میانگین ۱۵۰ میکرون و سوی برش مناسب انجام شد (جدول ۴). از دیدگاه سنگنگاری، مطالعات بر روی میانبارهای سیال اولیه (P) با موقعیت منفرد (Isolate) و درون‌دانه‌ای (Intragrain) در میزان کوارتز و با در نظر گرفتن جایگاه همبود کانه‌ها و ارتباط آن با مراحل مختلف کانه‌سازی انجام شد. میانبارهای دیده شده بیشتر به شکل‌های میله‌ای، دوکی، کروی و بی‌شکل با اندازه بین ۱۰ تا ۲۰ میکرون هستند. به دلیل ریز بودن، میانبارها در میزان اسفالریت (کوچکتر از ۵ میکرون) مورد مطالعه قرار نگرفت. بر پایه تقسیم‌بندی انجام شده توسط Roedder et al. (1984) و Shepherd et al. (1985) سیال‌ها به ترتیب فراوانی شامل تک فازی مایع (L)، بخار (V)، دو فازی غنی از مایع (L+V) و دو فازی غنی از بخار (V+L) تشخیص داده شد و شواهدی از وجود میانبارهای دارای فاز جامد هالیت یا حضور CO₂ مایع (L_{CO₂}) دیده نشد. میزان شوری نیز بر پایه رابطه Hall & Bodnar (1988) با استفاده از جدول دمای ذوب پایانی بخ (T_{m_{ice}}) (Brown, 1989) و نرم افزار FLINCOR (Bodnar et al. 1985) رسم ایزوکرهای PVTX نیز توسط این نرم افزار انجام شد.

۷-۱. میانبارهای سیال منطقه چشم‌حافظ

نتایج مطالعات زمین دماستجی (ژئوتمومتری) بر روی ۳ نسل کانی‌سازی کوارتز در منطقه چشم‌حافظ به ترتیب زیر است:

(۱) سامانه رگه- رگچه‌ای پیریت- کالکوپیریت در میزان کوارتز (I)، با نسبت بالای میانبارهای سیال دو فازی غنی از مایع (L+V) و دمای همگن شدن پایانی به فاز مایع (Th_{LV-L}) بین 188°C تا 238°C ، تغییرات دمای ذوب پایانی بخ (T_{m_{ice}}) بین -3°C - -11°C - (میانگین -7°C -) برابر میزان شوری ۶ درصد معادل نمک طعام (wt% NaCl eq.).

(۲) سامانه رگچه‌ای- انتشاری گالن- مجموعه سولفوالتی (تتراهدریت- تنانیت)- کالکوپیریت در میزان کوارتز (II)، با تغییرات دمای همگن شدگی پایانی به فاز مایع (Th_{LV-L}) بین 243°C تا 276°C ، دمای ذوب پایانی بخ (T_{m_{ice}}) بین -8°C - -14°C - (میانگین -11°C -) برابر میزان شوری ۱۱ درصد معادل نمک طعام (wt% NaCl eq.).

(۳) سامانه رگه‌ای پیریت در میزان کوارتز بی‌بر، با نسبت‌های متفاوت مایع به بخار (L/V) و فراوانی میانبارهای سیال تک فازی مایع (L) و دمای همگن شدن به فاز مایع (Th_{LV-L}) بین 148°C تا 188°C ، دمای ذوب نهایی بخ (T_{m_{ice}}) بین -2°C - -8°C - (میانگین -5°C -) برابر میزان شوری ۴ درصد معادل نمک طعام (wt% NaCl eq.). نمودارهای میله‌ای شکل دمای همگن شدگی پایانی (T_{m_{total}}) و شوری (درصد معادل نمک طعام) در برابر فراوانی برای کانسار چشم‌حافظ در شکل ۱۵ نشان داده شده است.

۷-۲. میانبارهای سیال منطقه چالو (کلانه چالو)

نتایج مطالعات زمین دماستجی بر روی دو نسل کانی‌سازی کوارتز در کانسار چالو به شرح زیر است:

جوشش در سیال کانه‌ساز و نهشت طلا و مس در رگه‌های سولفیدی دارد که با گذشت زمان سیال دچار کاهش دما و رقیق شدگی شده و در مراحل پایانی، رگه‌های کلستیت نابارور تشکیل شده است. با در نظر گرفتن توالی همبود کانی‌سازی و تغییرات معنادار $T_{m_{ice}}$ و Th ، به نظر می‌رسد سیال با شوری بالا به طور متواب در سامانه اپی ترمال تزریق شده و با سیال با شوری پایین تر آمیخته شده است (شکل ۱۷). سازوکار اصلی در کانی‌سازی فلزات پایه در این مناطق، احتمالاً آمیختگی چنین شورابه‌ایی با محلول‌های با شوری کمتر است.

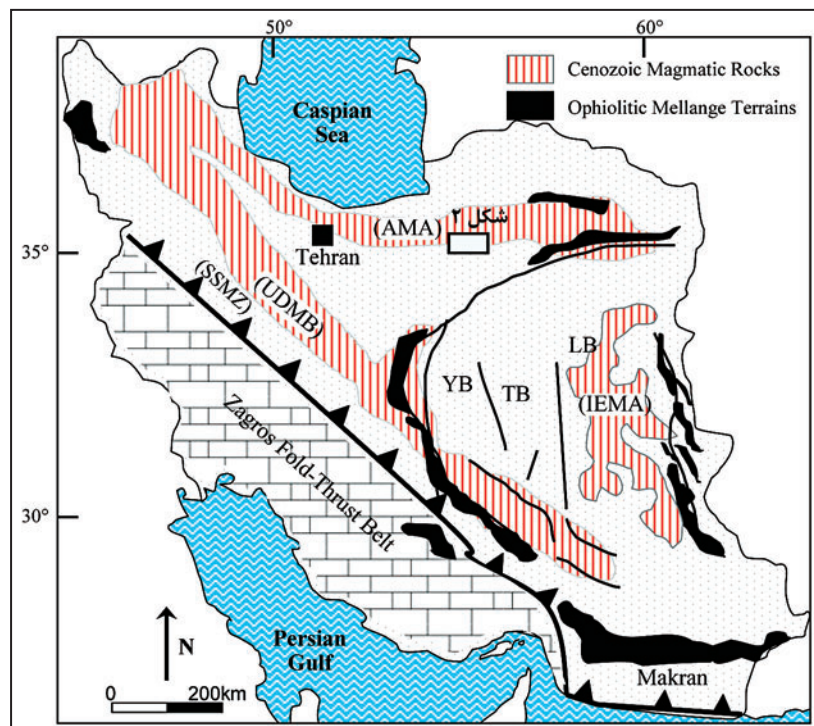
۹- نتیجه‌گیری

به طور خلاصه، نمودار همگن‌شدگی در برابر شوری نشان می‌دهد که یک سیال با شوری و دمای یکسان در منطقه سبب کانه‌زایی شده است. با این تفاوت که در منطقه چشم‌حافظ و ابوالحسنی تغییرات سیال با شوری بیشتر نیز حضور دارد که این پدیده در نتیجه تزریق انواعی از یک سیال با شوری و دمای بالاتر رخ داده و کانه‌زایی در این مناطق نیز در نتیجه این تزریق بوده است. با توجه به داده‌های به دست آمده در این پژوهش می‌توان نتیجه گرفت که کانه‌زایی مس- طلای چالو در زرفای بیشتر و نزدیک به توده نفوذی کوارتزمونزودیبوریت و کوارتزدیوریت تشکیل شده است و کانه‌زایی در کانسار چشم‌حافظ (سرب- مس- نقره- طلا) و ابوالحسنی (سرب- روی- مس- نقره- طلا) مربوط به همین سامانه کانه‌زایی در زرفاهای کمتر و در اثر اختلاط با سیالات جوی تشکیل شده و با توجه به شوری بالاتر کانه‌زایی طلا کمتر صورت گرفته است. مطالعات میانبارهای سیال فرایند اختلاط سیال گرمایی را با سیال جوی تأیید می‌کند.

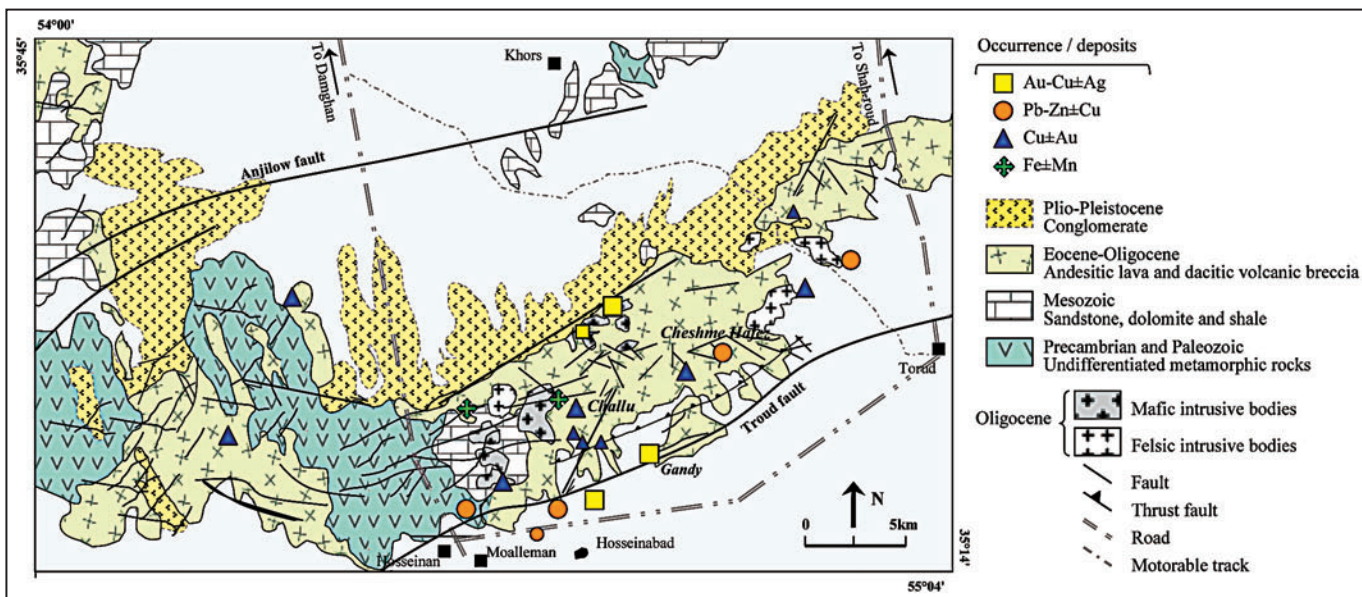
بین ۱۴۰ تا 276°C است. با توجه به اینکه میانگین دمای همگن‌شدن در کانسار ابوالحسنی واقع در بین این دو کانسار بین ۲۳۴ تا 340°C (Shamanian et al., 2004) است، کاهش تدریجی دمایی از کانسار چالو به سوی چشم‌حافظ مشهود است (جدول ۵).

جوشش و آمیختگی، دو فرایند مهم تهشینی فلزات در سامانه‌های اپی ترمال است (Giggenbach & Stewart, 1982) که به نفع‌پذیری بالا رخ می‌دهد، در حالی که نیمرخ‌های گرمایی خطی که به دلیل آمیختگی یا نفوذپذیری کم ایجاد می‌شوند در حاشیه‌های سامانه عمومیت دارند (Hedenquist & Henely, 1992).

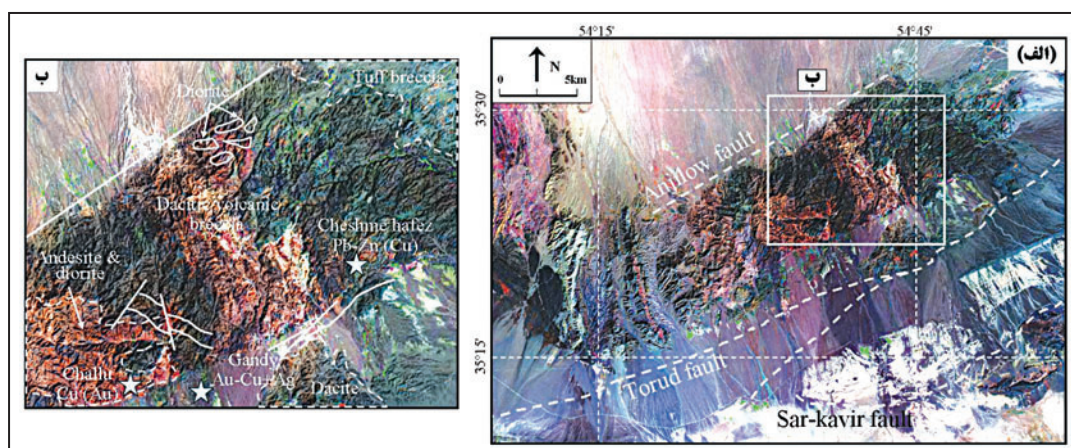
بر پایه مطالعات (Camprubi et al. 2006) و Cooke & Simmons (2000) در کانسارهای گرمایی رگه‌ای با کانی‌سازی همراه سولفیدی و اکسیدی، عامل کانی‌سازی تغییرات فوگاسیته اکسیژن و گوگرد در محیط است. در منطقه چالو آب‌های سطحی اکسیژن دار پس از نفوذ به ژرف‌ها و اختلاط با آب‌های ماقمایی دما بالای غنی از HCl و HF در شرایط فشار بالای اکسیژن و مقادیر پایین گوگرد موجب تشکیل هماتیت و مگنتیت در مراحل آغاز کانی‌سازی شده است. پس از آن، طی مراحل کانی‌سازی به تدریج با کاهش فوگاسیته اکسیژن، میزان گوگرد در محیط افزایش یافته و سبب کانی‌سازی طلا، فلزات پایه (مس و سرب) و پیریت رگه‌ای شده است. همچنین با توجه به رخداد دگرسانی سریسيتی در پیرامون رگه‌ها، pH محلول کانه‌ساز خنثی بوده است (Downes, 2006). حضور برش‌های گرمایی، گوناگونی میانبارهای سیال دوفازی غنی از بخار ($V+L$)، تک‌فازی بخار (V) و همگن‌شدگی برخی میانبارهای سیال غنی از بخار به فاز بخار ($Th_{VL \rightarrow V}$)، احتمالاً نشان از رخداد



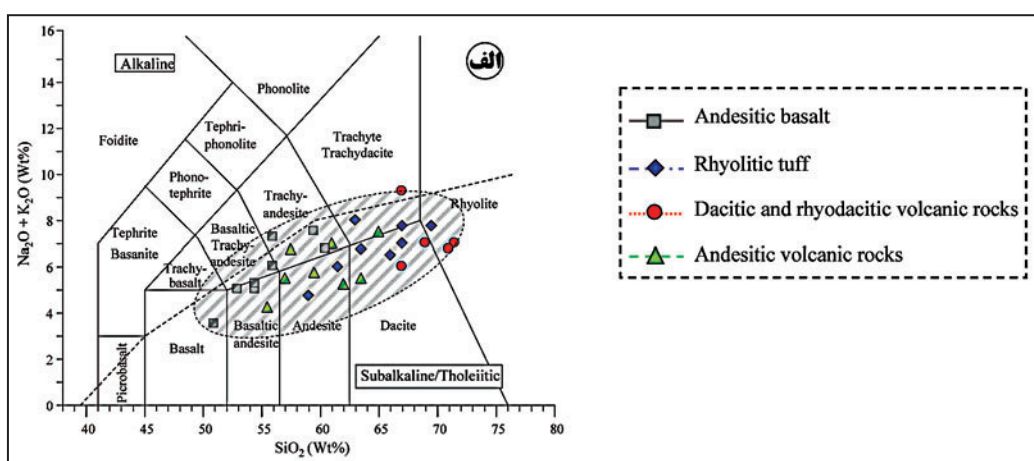
شکل ۱- پراکندگی سنگهای ماقمایی سوزویی یک در ایران (Haghipour & Aghanabati, 1985) و موقعیت پهنه ترود- چاه شیرین در بخش خاوری کمان ماقمایی البرز، AMA (کمان ماقمایی البرز)، UDMB (کمریند ماقمایی ارومیه- دختر)، IEMA (مجموعه ماقمایی خاور ایران)، SSMZ (پهنه دگرگونی سنتنج- سیرجان)، YB (بلوک بزد)، TB (بلوک طبس)، LB (بلوک لوت).



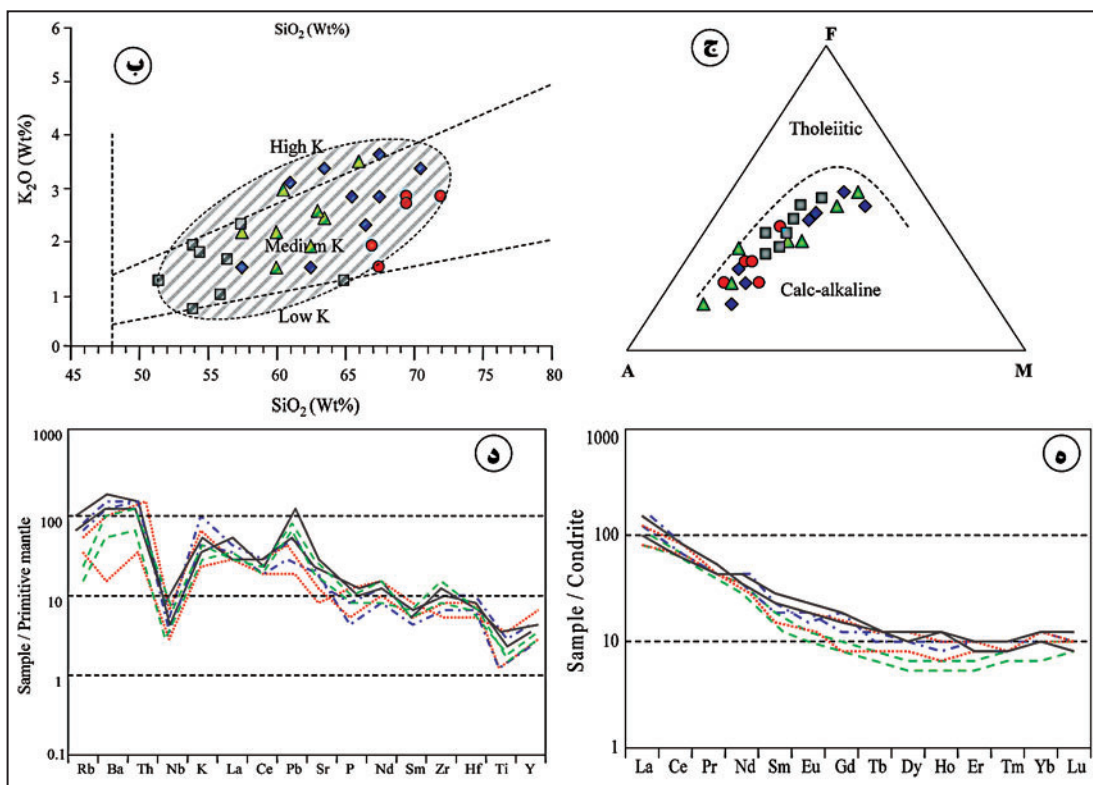
شکل ۲- نقشه زمین شناسی پهنه ترود- چاه شیرین و نمایش ذخایر (شکل های هندسی بزرگ) و رخدادهای معدنی (شکل های هندسی کوچک) در آن (با تغییرات کلی از هوشمندزاده و همکاران، ۱۳۵۷).



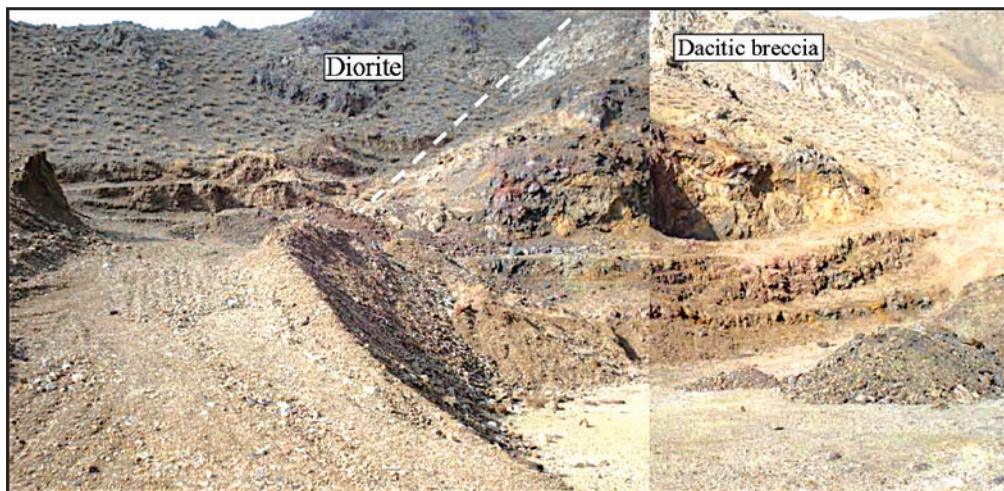
شکل ۳-الف) تصویر ماهواره‌ای (Landsat TM) پهنه آتششانی- نفوذی ترود- چاه شیرین و موقعیت گسل‌های انجیلو در شمال و ترود در جنوب آن؛ ب) موقعیت مناطق معدنی چشم‌حافظ، گندی و چالو نسبت به توده‌های نفوذی و سنگ‌های آتششانی بخش خاوری پهنه ترود- چاه شیرین.



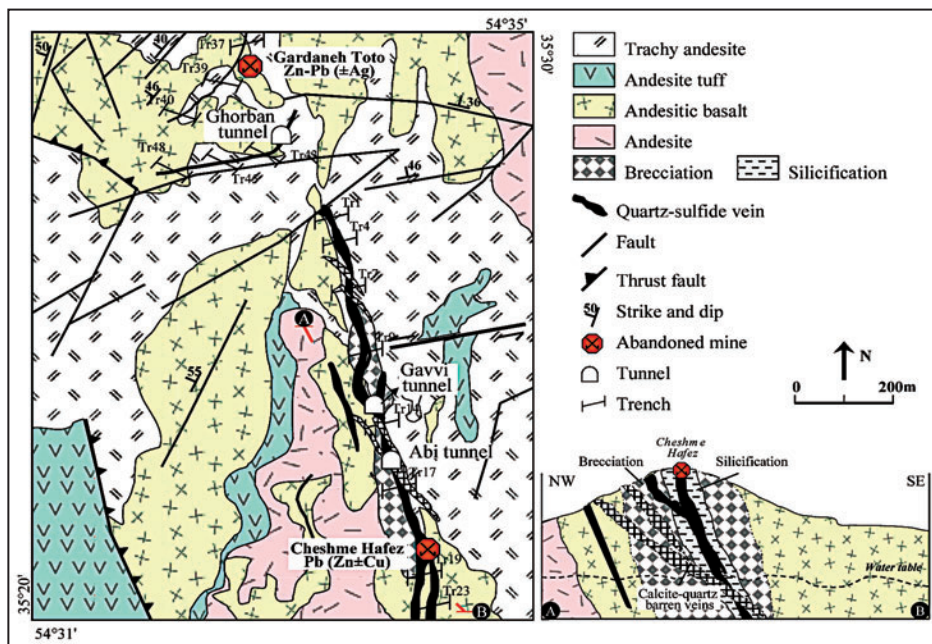
شکل ۴- نمودار ژئوشیمی سنگ‌های آذرین منطقه، الف) ردبندی TAS برای تفکیک سنگ‌های آذرین بیرونی با استفاده از نسبت $\text{SiO}_2/\text{Na}_2\text{O}+\text{K}_2\text{O}$ در برابر Le Maitre (1989) توسط



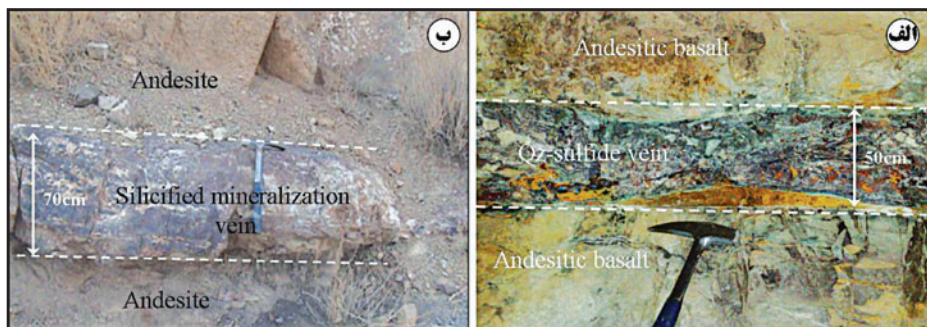
شکل ۴- نمودار ژئوشیمی سنگ‌های آذرین منطقه، ب) نمودار دوتایی K_2O - SiO_2 (Le Maitre, 1989) و موقعیت سنگ‌ها در محدوده پتاسیم متوسط تا بالا؛ ج) نمودار AFM (Irvine & Baragar, 1971) و ماهیت کالک‌آلکالن سنگ‌های آذرین منطقه؛ د) الگوی بهنجار شده عناصر نسبت به گوشش اولیه (Sun & Mc Donough, 1989) و نمایش بی‌هنجاری مثبت عناصر ناسازگار سنگ دوست با شاعع یونی بزرگ (LILE) و بی‌هنجاری منفی عناصر ناسازگار باشد میدان بالا (HFSE)؛ ه) الگوی بهنجار شده عناصر خاکی کمیاب (REE) نسبت به کندریت (Sun & Mc Donough, 1989)، نشان‌دهنده میزان ناچیز بی‌هنجاری مثبت LREE و الگوی تقریباً مسطح HREE.



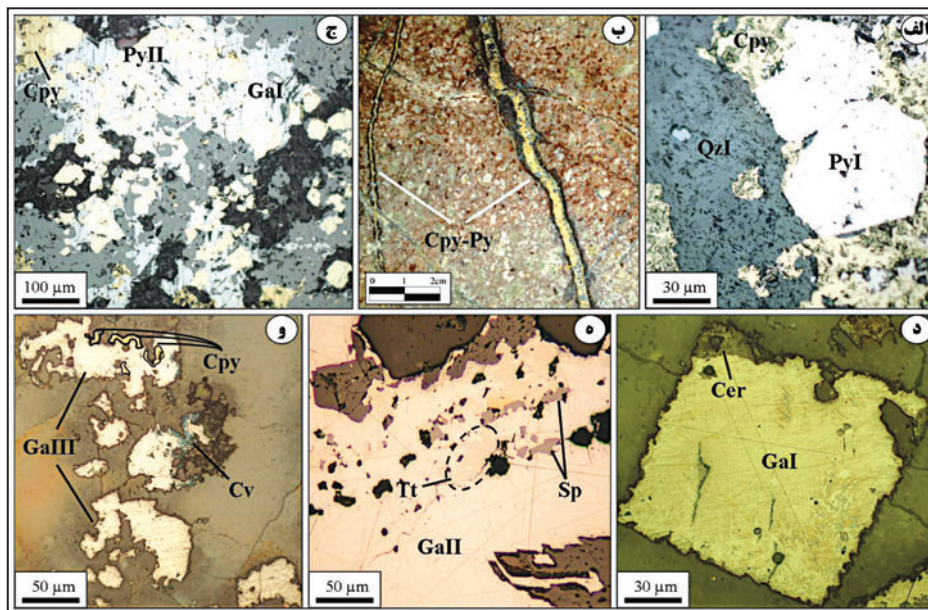
شکل ۵- نمایی از یک سینه کار کهنه در منطقه معدنی چالو به طول ۳۰ و عرض ۵ متر (دید به سوی شمال خاوری).



شکل ۶- نقشه زمین‌شناسی ساده شده منطقه معدنی چشم‌های حافظ به همراه نیمرخ در امتداد A-B (قاسمی سیانی، ۱۳۸۸).



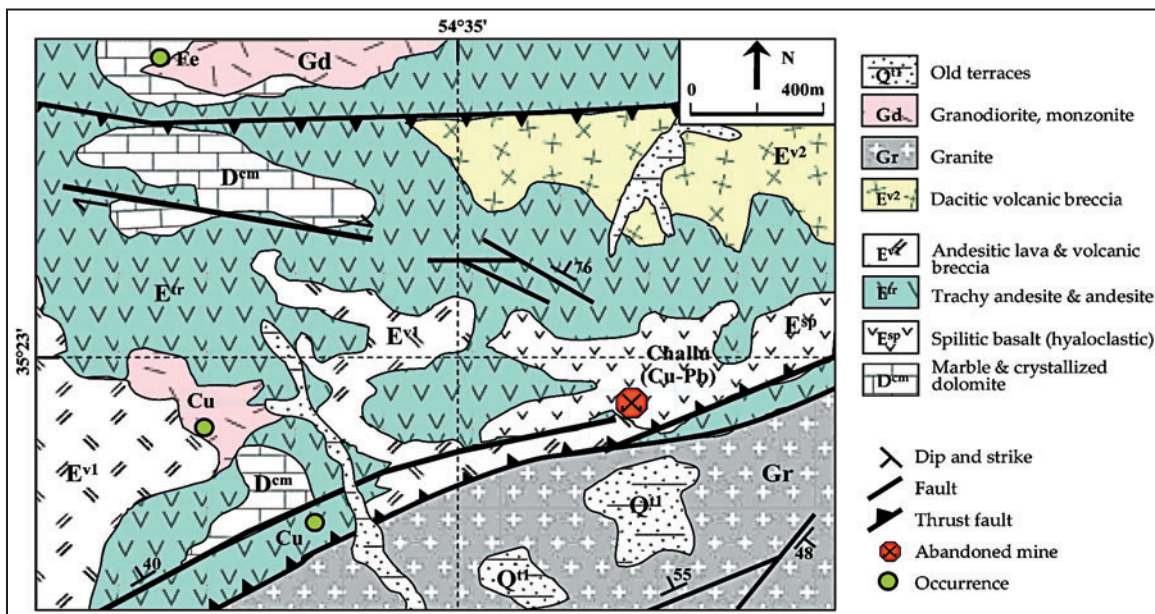
شکل ۷- تصاویر صحراوی از رگه‌های اصلی کانسار چشم‌های حافظ؛ (الف) رگه اصلی چشم‌های حافظ در تونل قربان (شکل ۶) با میزان بازالت آندزیتی و ساخت برشی؛ (ب) رخمنون رگه سیلیسی کانه‌دار منطقه گردنه توتو در میزان آندزیت دگرسان در شمال باختر معدن چشم‌های حافظ.



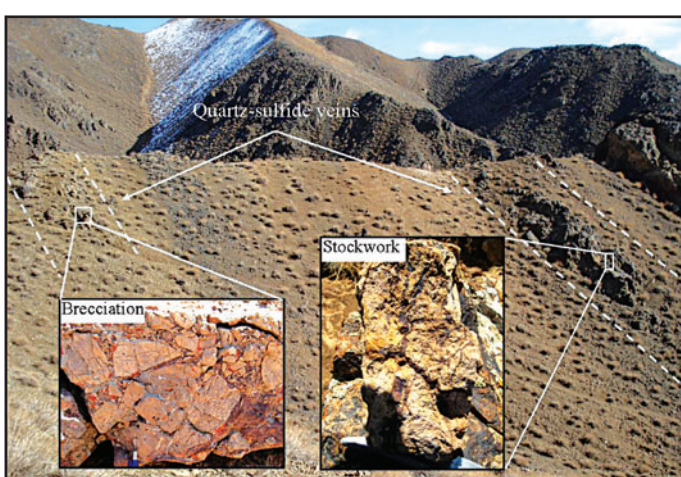
شکل ۸- تصاویر میکروسکوپی نور بازتابی و نمونه دستی از منطقه چشم‌های حافظ؛ (الف) کانی‌سازی رگه‌ای پیریت خودشکل نسل اول به همراه کالکوپیریت و کوارتز؛ (ب) ساخت رگچه‌ای پیریت- کالکوپیریت در میزان آندزیت توف؛ (ج) کانی‌سازی انتشاری پیریت نیمه‌شکل دار نسل دوم به همراه گالان نسل اول و کالکوپیریت نسل اول؛ (د) گالان خودشکل نسل اول با حاشیه سروزیت؛ (ه) ادخال‌های تراهدریت و اسفالریت در میزان گالان نسل دوم؛ (و) گالان انتشاری نسل سوم به همراه کالکوپیریت نسل دوم و حاشیه کوولین در میزان کوارتز، Py (پیریت)، Cpy (کالکوپیریت)، Ga (گالان)، Sp (اسفالریت)، Ti (تراهدریت)، Cer (کوولین)، Cv (کوولین)، Qz (کوارتز).

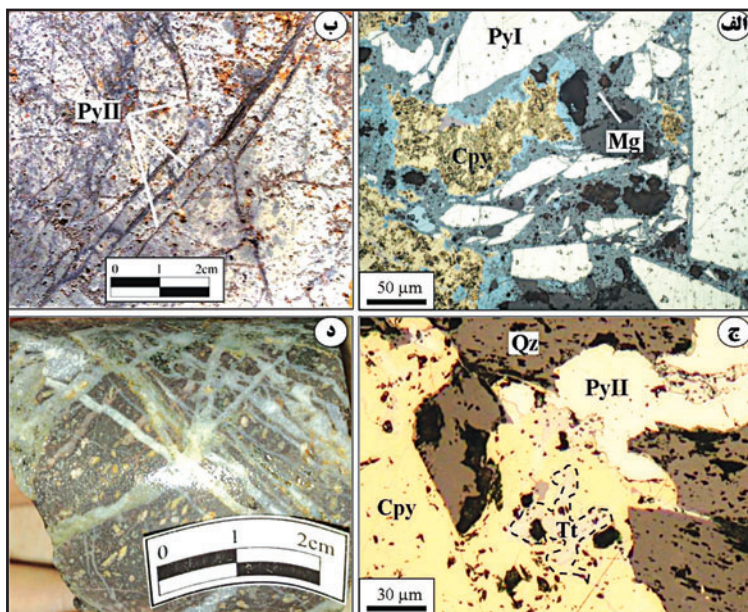
Minerals	Stages			Supergene
	Stage 1	Stage 2 (Main sulfide stage)	Stage 3	
Quartz				
Chalcopyrite		II	III	
Galena				
Sphalerite				
Pyrite				
Bornite				
Tetrahedrite				
Tennantite				
Chalcocite				
Digenite				
Covellite				
Azurite				
Malachite				
Cerussite				
Calcite				
Fe-oxide & hydroxides				
Temperature (°C)	188-238	243-276	148-185	
Salinity (wt% NaCl equiv)	6-14	11-18	4-11	

شکل ۹- توالی همبود کانسار چشمیه حافظ به همراه مقادیر دما و شوری بدست آمده در هر مرحله.

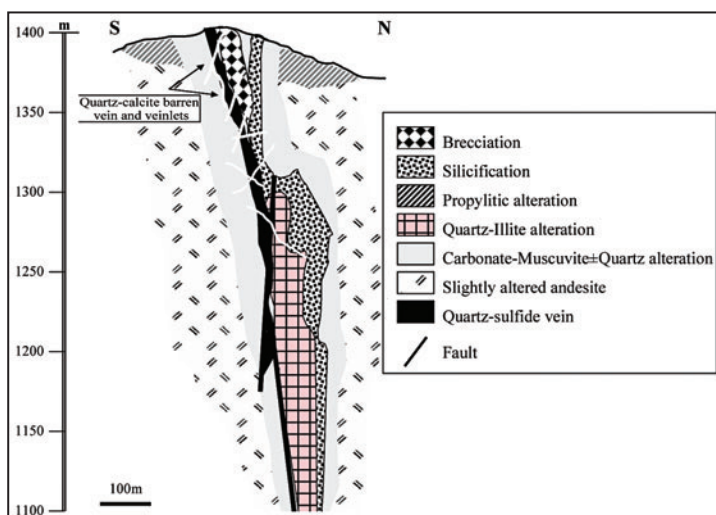


شکل ۱۰- نقشه زمین‌شناسی ساده شده منطقه معدنی چالو و نمایش رخدادهای معدنی مختلف در آن (برگرفته از برگه ۱:۱۰۰۰۰۰ معلمان توسط اشراقی و جلالی، ۱۳۸۵).

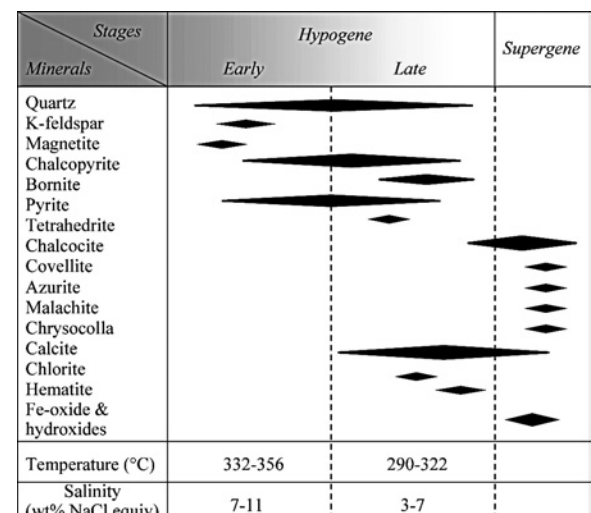
شکل ۱۱- نمایی از کانی‌سازی رگدای سولفیدی در منطقه چالو با راستای خاوری- باختی و ساختهای برشی و استوکورک در میزبان تراکی آندزیت (E^{v1}) (دید به سوی شمال باخته).



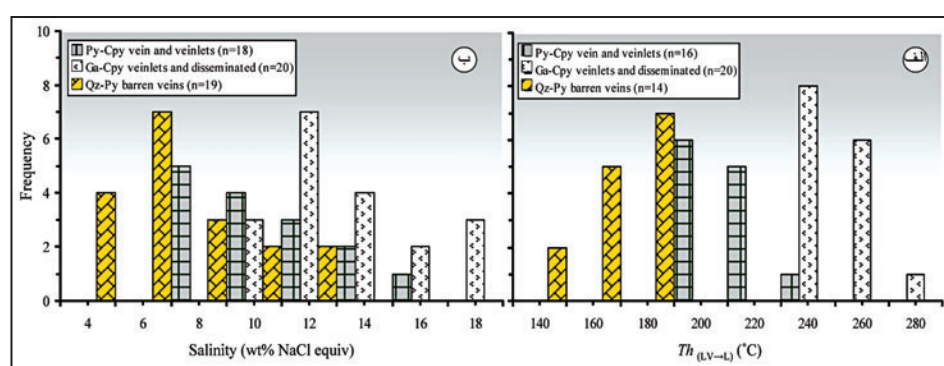
شکل ۱۲- تصاویر میکروسکوپی نور بازتابی و نمونه دستی کانسار چالو، (الف) پیریت های برشی نسل اول به همراه کالکوپیریت و مگنتیت در زمینه کوارتز؛ (ب) رگجه های پیریت نسل دوم؛ (ج) ادخال تراهدریت در میزان کالکوپیریت به همراه پیریت و (د) رگجه های تأخیری کلسیت در میزان آندزیت. Py (پیریت)؛ Cpy (کالکوپیریت)؛ Mg (مگنتیت)؛ Tt (تراهدریت)؛ Qz (کوارتز).



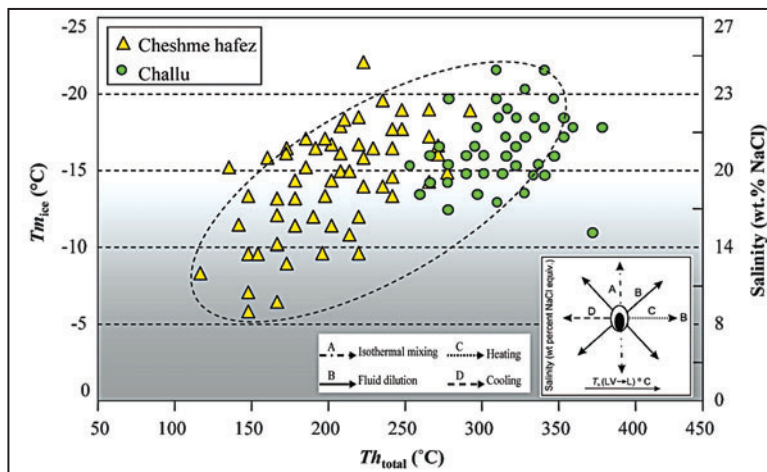
شکل ۱۴- نیمرخ زمین شناسی در امتداد رگه سولفیدی اصلی چشم حافظ و نمایش واحد های دگر سان مختلف در آن.



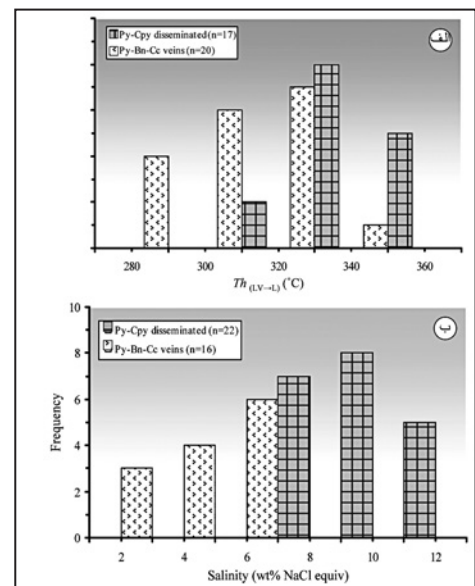
شکل ۱۳- توالی هم بود کانسار چالو به همراه مقادیر دما و شوری به دست آمده طی هر مرحله.



شکل ۱۵- نمودارهای میله ای شکل حاصل از میکروترموتری میانبارهای سیال کانی سازی های مختلف کانسار چشم حافظ؛ (الف) نمودار دمای همگن شدگی پایانی (Th_{total}) سیالات دو فازی مایع + بخار به فاز مایع ($LV \rightarrow L$) و (ب) میانبارهای سیال بر مبنای درصد وزنی معادل نمک طعام.



شکل ۱۷- نمودار دمای همگن شدگی پایانی (Th_{total}) در برابر شوری (بر حسب درصد وزنی معادل نمک طعام) و دمای ذوب پایانی بخ (T_m_{ice}) در کانه‌زایی‌های مختلف کاسار چالو و چشم‌های حافظ. بر پایه نمودار، فرایند اختلاط (mixing) و رقیق شدگی (dilution) توسط آب‌های جوی دما و شوری پایین قابل تشخیص است.



شکل ۱۶- نمودارهای میله‌ای شکل حاصل از میکروترمومتری میانبارهای سیال کانه‌زایی بخش انتشاری و رگه‌ای منطقه چالو؛
الف) نمودار دمای همگن شدگی پایانی (Th_{total}) سیالات به فاز مایع و
ب) شوری میانبارهای سیال بر پایه درصد وزنی معادل نمک طعام.

جدول ۱- نتایج تجزیه دستگاهی XRF عناصر اکسیدی (٪/wt) و عناصر فرعی (ppm) سنگ‌های آذرین منطقه

Sample no.	Ch-tr1-03	Ch-hs-05	Ch-w1-13	Ch-tr3-10	Ch2-w2-06
Rocks	andesitic basalt	andesite	rhyolitic tuff	Trachy-andesite	andesite
(wt%)					
SiO ₂	48.30	57.7	66.76	58.21	54.7
TiO ₂	1.08	0.95	1.09	0.88	0.80
Al ₂ O ₃	18.27	16.46	15.76	17.23	14.56
Fe ₂ O ₃	5.72	3.87	1.43	3.12	5.83
MnO	0.30	0.16	0.10	0.10	0.10
MgO	6.81	2.87	0.42	3.26	2.21
CaO	7.78	4.87	4.32	3.45	7.87
Na ₂ O	2.78	2.10	0.10	2.22	2.76
K ₂ O	3.92	3.52	5.02	3.68	4.56
P ₂ O ₅	0.10	0.15	0.21	0.20	0.20
LOI	4.87	6.76	3.45	6.76	4.87
Total	99.93	99.41	98.66	99.11	98.46
(ppm)					
Cr	78	93	140	130	164
Co	1.5	14.3	12.6	2.8	12.21
Ni	9.9	21.5	14.6	48.6	32.8
Sc	4.2	5.6	12.3	13.1	14.4
Ba	708	630	608	438	500
Zn	129	145	213	167	190
Rb	146	138	223	130	316
La	12	28	33	19	43
Sr	149	168	134	145	124
Nb	1.8	3.9	8.8	15.7	13.8
Zr	104	17.78	204.7	140	249
Y	11.6	13.7	17.9	23.78	34.9
Ta	0.1	0.1	0.1	0.1	0.1
Ga	9.7	19.9	23	29	48
Cs	10.4	6.6	5.5	7.1	7.3
Th	10.1	3.2	1.6	3.2	9.1
U	2.2	1.4	1.7	3.9	2.4
V	102	223	38	54	67
Pr	9.2	7.8	8	7.2	2.5
Nd	37	18.3	43.2	43	68
Sm	6.8	4.8	3.4	2.3	5.6
Cu	240	103	324	34	46
Lu	0.2	0.3	0.6	0.2	0.3
Eu	1.6	1.3	1.8	1.2	0.8
Yb	2.3	2.3	3.3	2.1	1.1
Gd	3.2	5.4	3.4	5.5	4.7
Tb	0.4	0.7	0.6	0.3	0.5
Dy	3.3	2.2	4.5	3.7	2.6
Ho	0.6	0.3	0.8	1.1	0.4
Er	1.1	1.9	1.0	0.1	1.1
Tm	0.2	0.1	0.2	0.3	0.4
Hf	3.2	1.2	1.9	2.0	2.9

جدول ۲- نتایج تجزیه دستگاهی ICP-MS تعداد ۸ عنصر معرف کانه‌ساز از منطقه چشم‌حافظ

Sample no.	Au (ppm)	Ag (ppm)	As (ppm)	Cd (ppm)	Mo (ppm)	Cu (wt%)	Pb (wt%)	Zn (wt%)
Ch-tu-17	0.06	8.3	120	153	20.7	1.0	13.0	0.3
Ch-tu-18	0.3	8.1	65	17	14.3	2.0	5.0	1.2
Ch-tr-84	0.7	3.4	97	16.5	14.9	17.2	10.0	4.1
Ch-74	0.1	0.3	42	3.6	17.8	3.1	0.9	1.5
Ch-tr-10	0.1	0.8	98	5.0	0.5	0.9	8.0	4.2
Ch-po87	0.09	4.8	49	64	1.0	3.3	11.7	3.5
Ch-87	0.03	2.0	356	5.0	8.9	0.9	3.0	4.4
Ch-88	0.03	0.9	1020	2.4	1.4	0.8	3.4	0.07
Ch-tr-50	0.002	1.0	678	2.2	2.8	0.02	0.04	0.1
Ch-tr-80	0.008	0.4	37	12	14.9	0.02	0.4	0.3
Ch-tu-90	0.04	0.2	27	13.5	0.9	1.0	0.9	0.2
Ch-99	0.2	8.5	100	34	19	1.4	0.8	0.3

جدول ۳- نتایج تجزیه دستگاهی ICP-MS تعداد ۹ عنصر معرف کانه‌ساز از منطقه چالو

Sample no.	Au (ppm)	Ag (ppm)	As (ppm)	Sb (ppm)	Bi (ppm)	Mo (ppm)	Cu (wt%)	Pb (wt%)	Zn (wt%)
Ch-tr01	25	11.6	1120	nd	185	12	7.3	1.5	0.4
Ch-tr03	20	21.7	89	nd	503	9.9	0.2	2.8	0.2
Ch-tr13	31	34	57	nd	1.85	7.5	2.1	1.2	0.2
Ch-hs11	0.8	<1	5.2	20	<10	0.3	3.2	0.3	0.05
Ch-hs10	0.6	0.2	7.8	12	0.3	0.5	6.1	0.8	0.02
Ch-tr01	9.8	9.4	895	41	156	50	0.2	5.7	0.1
Ch-tr02	10.2	23	219	11	38	24	8.1	6.9	0.2
Ch-tr03	8.7	43	321	30	47	43	1.4	3.4	0.6
Ch-hs04	1.2	0.3	<10	2	0.5	<10	0.01	0.3	0.01
Ch-hs12	<0.1	<1	34	59	<10	0.4	8.2	0.2	0.03
Ch-hs13	<0.1	0.6	17	nd	0.3	3.8	7.1	0.1	0.01
Ch-tr04	25	76	1045	6	3.34	8.5	1.1	3.9	0.5
Ch-tr05	13	41	1718	12	53	24.5	3	4.2	1.6
Ch-tr06	46	32	229	180	33	32.8	2.3	5.6	2.3

جدول ۴- داده‌های میکروترموتری میانوارهای سیال در کانسارهای چشم‌حافظ (Ch) و چالو (Cho).

Sample no.	Mineral	Volume %	Origin	n	Th _{total} (°C)	Te (°C)	Tm _{ice} (°C)	Salinity wt% NaCl eq.
87-Ch-68	Quartz	10-30	P-PS	13	140-235	-20.5 to -19.6	-13.2 to -5.0	7.8 to 17.5
87-Ch-Tu	Quartz	20-40	P	22	160-260	-21.6 to -19.8	-8.2 to -2.9	4.7 to 12.0
87-Ch-23	Quartz	30-40	P-S	26	157-255	-21.1 to -18.8	-14.2 to -4.0	6.2 to 17.9
89-Cho-8	Quartz	40-60	P	20	290-350	-20.9 to -19.6	-6.2 to -2.9	4.8 to 9.5
89-Cho-11	Quartz	50-60	P	30	300-360	-22.1 to -18.0	-6.6 to -1.9	3.0 to 10.0
89-Cho-12	Quartz	30-40	P-S	23	290-360	-21.1 to -18.1	-6.6 to -3.0	5.0 to 10.0

-n- تعداد نقاط اندازه‌گیری

جدول ۵- مقایسه ویژگی‌های زمین‌شناسی، کانه‌زایی، کانی‌شناسی و میانبارهای سیال در مناطق معدنی چشم‌های حافظ، چالو و مجموعه گندی- ابوالحسنی

گندی و ابوالحسنی	چالو	چشم‌های حافظ (I) و گردنه توتو (II)	ویژگی‌های کانسار
Pb+Zn±Ag±Au	Cu±Au	Pb+Zn+Cu (I) Zn+Pb±Ag (II)	ماده معدنی
لایلی توف، گدازه‌های حدوداً سطح و برش‌های آشنازی و آندزیت	تراکی آندزیت و بازالت اسپلیتی برشی	آندزیت، آندزیت- بازالت و داسیت	سنگ‌میزان
رگه‌ای و برشی	رگه- رگجه‌ای، برشی و استوکورک	رگه- رگجه‌ای (در هر دو محدوده)	شکل کانی‌سازی
شکافه‌پرکن، جانشینی و انتشاری	شکافه‌پرکن و نواری نامتقارن	شکافه‌پرکن و نواری نامتقارن	ساخت و بافت کانی‌سازی
Cpy+Py±Sp±Ga±Gold±Tn±Bo±Clc	Mg+Hm+Py+Cpy±Tet±Ccl±Mal±Az±Cv±Cry	Ga+Sp+Py±Cpy±Bo±Tet-Tn±Cer±Mal±Clc±Cv±Dj	کانی‌شناسی کانستگ و باطله‌ها
Dol+Qz+Cc±Ba±Ep	Qz±K-feldspar±Cc±Chl	Qz±Cc	
سریستی و سیلیسی	سیلیسی- سولفیدی و سریستی	پروپلیتیک، فیلیک، آرژیلیک و سیلیسیک	دگرسانی مرتبط با کانی‌سازی
$Th_{total} = 287^{\circ}\text{C}$ Salinity=12.7 (wt% NaCl)	<u>Early stage</u> $Th_{total} = 344^{\circ}\text{C}$ Salinity=9 (wt% NaCl)	<u>Stage 1</u> $Th_{total} = 213^{\circ}\text{C}$ Salinity=10 (wt% NaCl)	میانگین دمای همگن شدگی پایانی (°C) و شوری (wt% NaCl)
		<u>Stage 2</u> $Th_{total} = 260^{\circ}\text{C}$ Salinity=14.5 (wt% NaCl)	
	<u>Late stage</u> $Th_{total} = 306^{\circ}\text{C}$ Salinity = 5 (wt% NaCl)	<u>Stage 3</u> $Th_{total} = 167^{\circ}\text{C}$ Salinity = 7.5 (wt% NaCl)	
Depth=600 m	Depth≥700 m	Depth=380 m	ژرفای کانی‌سازی (m)
Pb (3.1%) Cu (1.0%) Zn (0.8%) Ag (30.6ppm) Au (14.6ppm)	Cu (3.0%) Pb (2.0%) Zn (0.5%) Ag (20ppm) Au (15ppm)	Pb (4.0%) Zn (2.3%) Cu (1.5%) Ag (3ppm) Au (0.1ppm)	عیار میانگین
(Shamanian et al., 2004)	این پژوهش	قاسیمی‌سیانی (۱۳۸۸) و این پژوهش	منابع

علام اختصاری: Ga: گالان؛ Sp: اسفالریت؛ Py: پیریت؛ Cpy: کالکپریت؛ Bo: بورونیت؛ Tn: تراهدریت؛ Tet: بوئنیت؛ Bn: مگنتیت؛ Hm: هماتیت؛ Mg: سروزیت؛ Cer: سروزیت؛ Mal: مالاکیت؛ Cv: کروپلیت؛ Dj: دیژنیت؛ Az: آزوریت؛ Clc: کلیپریت؛ Cc: کلکوپیت؛ Qz: کوارتز؛ Chl: چالکوپیت؛ Dol: دلوپیت؛ Ep: پاریت؛ Ba: اپیدوت.

کتابنگاری

- اشراقی، ص.ع.، ۱۳۷۷- گزارش نقشه زمین‌شناسی ۱:۲۰۰۰ منطقه معلمان-دامغان، سازمان زمین‌شناسی و اکتشافات معدنی کشور.
- اشراقی، ص.ع. و جلالی، ا.، ۱۳۸۵- گزارش نقشه زمین‌شناسی ۱:۱۰۰۰۰ معلمان، سازمان زمین‌شناسی و اکتشافات معدنی کشور.
- امام جمعه، ا.، ۱۳۸۵- زمین‌شناسی، کانی‌شناسی، ژئوشیمی و ژئوزمین‌شناسی، چاهه‌موسی (شمال باختر ترود، استان سمنان)، پایان‌نامه کارشناسی ارشد، دانشگاه تربیت مدرس تهران.
- برنا، ب. و عشق‌آبادی، م.، ۱۳۷۶- گزارش ارزیابی و اکتشافی کانسارها و اندیس‌های سرب و روی استان سمنان، سازمان صنایع و معدن استان سمنان.
- نقی‌پور، ن.، قربانی، ق. و درانی، م.، ۱۳۸۹- زمین‌شناسی و ژئوشیمی توده‌های نفوذی مرتبط با کانه‌زایی آهن در کانسار چالو، جنوب دامغان، بیست و نهمین گردهمایی علوم زمین، سازمان زمین‌شناسی کشور.
- توسعه علوم زمین، ۱۳۸۲- گزارش اکتشافی کانسار چشم‌های حافظ و گردنه توتو در مقیاس ۱:۱۰۰۰.
- توسعه علوم زمین، ۱۳۸۵- گزارش طرح اکشاف معدن متروک سرکویر استان سمنان (معدن متروک چالو).
- رشیدنژاد‌مران، ن.، ۱۳۷۱- بررسی تحولات سنگ‌شناسی و ماگمایی و ارتباط آن با کانه‌زایی طلا در منطقه باغو (جنوب دامغان)، پایان‌نامه کارشناسی ارشد، دانشکده علوم، دانشگاه تربیت مدرس تهران.
- شماعیان، غ.ح.، ۱۳۸۲- مطالعه دگرسانی و کانی‌سازی گرمایی فلات‌پایه و گرانبهای در منطقه معلمان، رساله دکتری، دانشگاه شهید بهشتی تهران.
- شبیی، م.، ۱۳۸۳- بررسی بترولوژی و ژئوشیمی کانسار آهن پنج کوه (جنوب دامغان)، پایان‌نامه کارشناسی ارشد، دانشگاه تهران.
- فرد، م.، ۱۳۸۰- کانی‌شناسی، ژئوشیمی و ژئوزمین‌شناسی کانسار طلا، سرب، روی، (مس و باریم) گندی، پایان‌نامه کارشناسی ارشد، دانشگاه تربیت مدرس تهران.

- فاسی سیانی، م.، ۱۳۸۸- کانی شناسی، ژئوشیمی، سیالات در گیر و ژنر کانسار پلی متال چشم‌حافظ (جنوب شرق دامغان)، پایان نامه کارشناسی ارشد، دانشگاه تربیت معلم تهران.
- کهنسال، ر.، ۱۳۷۷- بررسی تودهای نفوذی نیمه عمیق در محدوده ورقه ۱:۱۰۰۰۰ معلمان دامغان، پایان نامه کارشناسی ارشد، دانشکده علوم دانشگاه آزاد اسلامی، واحد تهران شمال.
- مهرابی، ب. و فاسی سیانی، م.، ۱۳۸۹- کانی شناسی و زمین شناسی اقتصادی کانسار پلی متال چشم‌حافظ، سمنان، ایران، مجله زمین شناسی اقتصادی، جلد دوم، شماره ۱.
- مهرابی، ب.، ۱۳۷۷- زمین شناسی، کانی شناسی، ژئوشیمی، آنالیز خساره و ژنر کانسار سرب-نقره خانجار (جنوب دامغان)، پایان نامه کارشناسی ارشد، دانشگاه تربیت مدرس تهران.
- ولی زاده، م.ع. و جعفریان، ع.، ۱۳۶۸- قربات‌های پتروژئنیک کوه زر ترود و ارتباط آن با متالوژنی تاجیه، مجله علوم دانشگاه تهران، جلد بیستم، شماره ۱.
- هوشمندزاده، ع.، علوی نایینی، م. و حقی پور، ع.، ۱۳۵۷- تحول پدیده‌های زمین شناسی ترود از پر کامبرین تا عهد حاضر، سازمان زمین شناسی و اکتشافات معدنی کشور.

References

- Albinson, T., Norman, D. I., Cole, D. & Chomiak, B., 2001- Controls on formation of low-sulfidation epithermal deposits in Mexico: Constraints from fluid inclusion and stable isotope data. Society of Economic Geologists, Sp. Publ. 8: 1-32.
- Benning, L. G. & Seward, T. M., 1996- Hydrosulfide complexing of Au in hydrothermal solutions from 150 to 400°C and 500 to 1500 bars, *Geochimica et Cosmochimica Acta*, v. 60, 1849-1871.
- Bodnar, R. J., 1993- Revised equation and table for determining the freezing point depression of H₂O-NaCl solutions, *Geochimica et Cosmochimica Acta*, v. 57, 683-684.
- Bodnar, R. J., Reynolds, T. J. & Kuehn, C. A., 1985- Fluid inclusion systematic in epithermal systems: Reviews in Economic Geology, v.2, p. 73-97.
- Brathwaite, R. L. & Faure, K., 2002- The Waihi epithermal gold-silver-basemetal sulfide-quartz vein system, New Zealand: temperature and salinity controls on electrum and sulfide deposition, *Econ. Geol.*, 97, p 269-290.
- Brown, P. E., 1989- FLINCOR: a microcomputer program for the reduction and investigation of fluid inclusion data. *American Mineralogist*, 74, 1390-1393 .
- Camprubi, A., Chomiak, B. A., Canals, A. & Norman, D. I., 2006- Fluid sources for the La Guitarra epithermal deposit (Temascaltepec district, Mexico): Volatile and helium isotope analyses in fluid inclusions. *Chemical Geology* 231, pp: 252-284.
- Cooke, D. R. & Simmons, S. F., 2000- Characteristics and genesis of epithermal gold deposits, *Rev. Economic Geology*, 13, pp: 221 – 244.
- Downes, P. M., 2006- Yerranderie a late Devonian Silver-Gold-Lead intermediate sulfidation epithermal district, Eastern Lachlan orogen, New South Wales, Australia. *Resource Geology* 57, No.1, pp: 1-23.
- Giggenbach, W. F. & Stewart, M. K., 1982- Processes controlling the isotopic composition of steam and water discharges from steam vents and steam-heated pools in geothermal areas: *Geothermics*, v. 11, p. 71-80.
- Haghipour, A. A. & Aghanabati, S. A., 1985- Geological map of Iran, *Geol. Surv. of Iran*.
- Hall, D. I. & Bodnar, R. J., 1988- Freezing point depression of NaCl-KCl-H₂O, *Econ., Geol.*, v.65, p123.
- Hedenquist, J. W. & Henley, R. W., 1992- Effect of CO₂ on freezing point depression measurements of fluid inclusions: Evidence from active systems and application to epithermal studies: *Econ., Geol.*, v. 80, p. 1379-1406.
- Henley, R. W., 1986- The geological framework of epithermal deposits, In Berger. P.M (Ede), *Geology and geochemistry of epithermal system*, Soc. Econ. Geol, pp: 1-24.
- Huber, H. & Stöcklin, J., 1959- Geological report on the Troud-Moaleman area. *N.I.O.C.*
- Irvine, T. N. & Baragar, W. R. A., 1971- A guide to the Chemical classification of the common volcanic rocks. *Canadian Journal of Earth Science*, v. 8, 523-548.
- Le Maitre, R. W., 1989- Classifications of igneous rocks and glossary of terms, Black well scientific publications, 191p.
- Palyanaova, G., 2008- Physicochemistry modeling of the coupled behavior of gold and silver in hydrothermal processes, gold fineness, Au/Ag ratios and their possible implications, *Chemical Geology*, 255, 399-413.
- Pearce, J. A. & Can, J. R., 1973- Tectonic setting of basic volcanic rocks determined using trace elements analysis. *Earth and Planetary Science Letter*, 290-300.
- Roedder, E., 1984- Fluid inclusions: *Reviews in Mineralogy*, v. 12, 644 p.
- Seward, T. M. & Barnes, H. L., 1997- Metal transport by hydrothermal ore fluids, in Barnes, H.L., ed., *Geochemistry of hydrothermal ore deposits*, New York, John Wiley and Sons, 435-486.
- Shamanian, H., Geffrey, W., Hedenquist, J., Hatori, K. & Ghaderi, M., 2004- The Gandy and Abolhassani epithermal prospects in the Alborz magmatic arc, Semnan province, Northern Iran. *Econ., Geol.*, v. 99, 691-712.
- Shepherd, T. J., Rankin, A. H. & Alderton, D. H. M., 1985- A practical guides to fluid inclusion studies, Blackie press, 239 p.
- Stöcklin, J., 1968- Structural history and tectonics of Iran. A review, *American Association of Petroleum Geologist Bulletin*, v. 52, pp: 1229-1258.
- Streckeisen, A. L., 1980- Classification and nomenclature of volcanic rocks, lamprophyres, carbonatites, and melilitic rocks, I.U.G.S., Subcommission on the systematic of igneous rocks. *Geol. Rundsch.* 69, 194-207.
- Sun, S. S. & Mc Donough, W. F., 1989- Chemical and isotopic systematic of oceanic basalts: implications for mantle composition and processes. In: Saunders, A. D., Norry, M. J. (eds.) *Magmatism in ocean basins*. *Geol. Soc. London Spec. Pub.*, pp 313-345.

Base and Precious Metal Ore-Forming System in the Cheshme Hafez and Challu Mining Area, Torud-Chah Shirin Magmatic Arc

B. Mehrabi¹, M. Ghasemi Siani² & E. Tale Fazel^{3*}

¹ Associate Professor, Department of Geochemistry, Faculty of Earth Sciences, Kharazmi University, Tehran, Iran

² Ph.D., Department of Geochemistry, Faculty of Earth Sciences, Kharazmi University, Tehran, Iran

³ Assistant Professor, Department of Geology, Faculty of Sciences, Bu-Ali Sina University, Hamedan, Iran

Received: 2011 September 03 Accepted: 2012 August 08

Abstract

The Torud-Chah Shirin volcanic-intrusive arc, in the south of Kavir-e-Chah Jam depression (SW of Damghan), hosted many Pb, Zn, Cu, Ag and Au occurrences and deposits. Cheshmeh Hafez (Pb-Zn±Cu±Ag±Au) and Challu (Cu-Au±Ag) polymetallic vein-type ore deposits are the major one located in the central part. The Tertiary calc-alkaline volcanism and related mineralization occurred along the main Anjillo fault in the north and the Torud fault in the south with NW-SE trend. The exposed rocks in the Torud-Chah Shirin consist of volcaniclastic sequence composed of siltstone, thin bedded sandstone, lapilli tuff and volcano breccias and mostly andesitic and andesitic-basalt flows. Main host rocks at Cheshmeh Hafez are andesite and andesitic-basalt, while in Challu are trachy-andesite and basaltic trachyandesite, hosted polymetal hydrothermal mineralization in the area. Mineralization in the Cheshmeh Hafez occurred in three main stage includes stage 1) vein and disseminated pyrite and chalcopyrite hosted in quartz with homogenization temperature of 188 to 238°C and salinity of 6 to 14 wt.% NaCl equiv, stage 2) main sulfide mineralization with vein, disseminated and brecciate texture hosted in quartz with homogenization temperature of 243 to 276°C and salinity of 11 to 18 wt.% NaCl equiv and stage 3) replacement mineralization and vein-type (quartz and barren calcite) with homogenization temperature of 148 to 185°C and salinity of 4 to 11 wt.% NaCl equiv. Mineralization in the Challu district with low expanse and simple mineralogy occurred at two stage composed of stage 1) vein and veinlet pre-mineralization stage includes specularite, magnetite, chalcopyrite and pyrite (I) hosted in quartz with homogenization temperature of 332 to 356°C and salinity of 7 to 11 wt.% NaCl equiv and stage 2) brecciate and stock-work post-mineralization stage includes pyrite (II), bornite, tetrahedrite, vein-type calcite and chlorite with homogenization temperature of 290 to 322°C and salinity of 3 to 7 wt.% NaCl equiv. According to the recent studies, it can be inferred that with distance increasing from Challu district to Cheshmeh Hafez mining area, homogenization temperatures (Th), salinity and depth of mineralization decreases gradually and mineralization at Challu and Cheshmeh Hafez districts have characteristics of an individual mineralization system that caused by mixing of hydrothermal fluid with meteoric water.

Keywords: Torud-Chah Shirin, Cheshmeh Hafez, Challu, Fluid Inclusion, Polymetallic Mineralization.

For Persian Version see pages 105 to 118

*Corresponding author: E. Tale Fazel; E-mail: tale.fazel@gmail.com